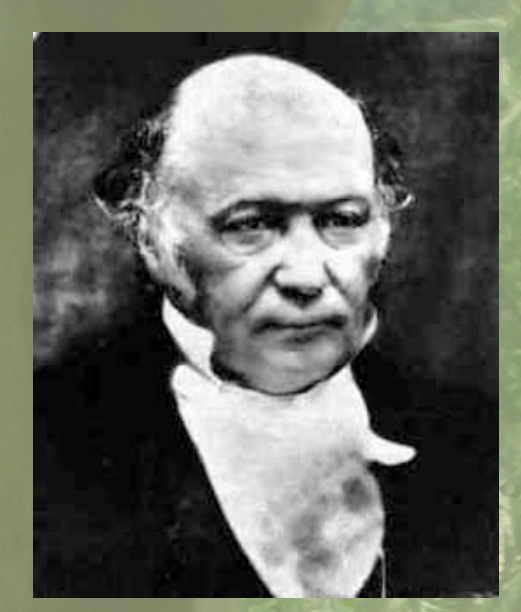


José Miguel Figueroa O'Farrill
Maxwell Institute & School of Mathematics

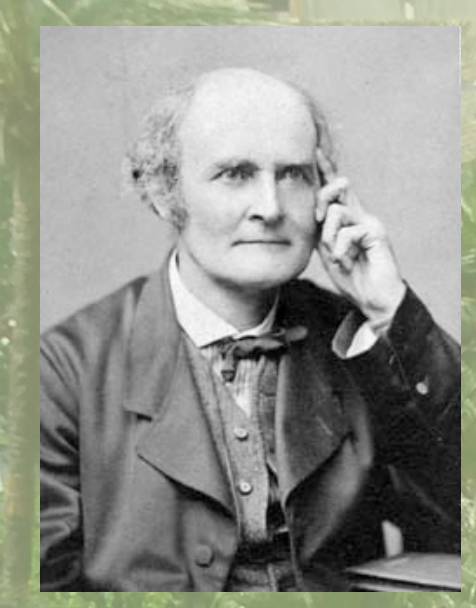


Alicante, 7 de junio del 2007

Introducción



Hamilton



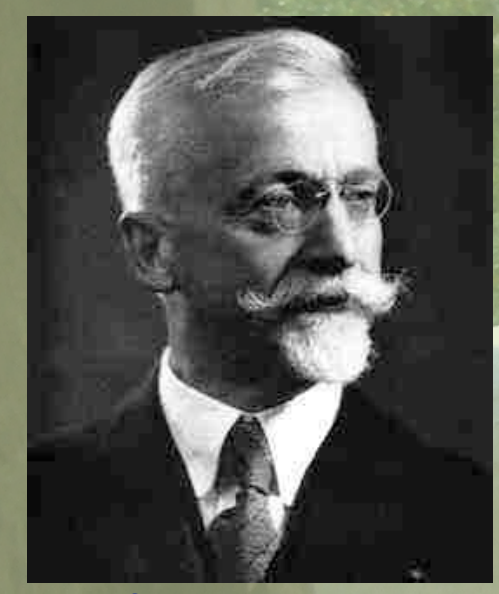
Cayley



Lie



Killing



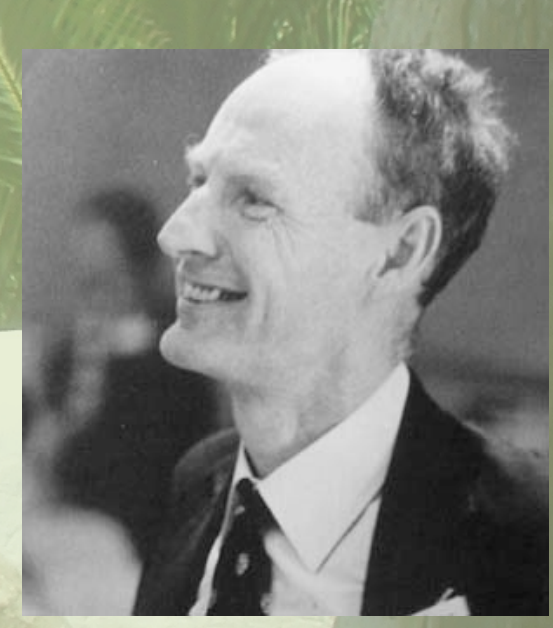
É. Cartan



Hurwitz



Hopf



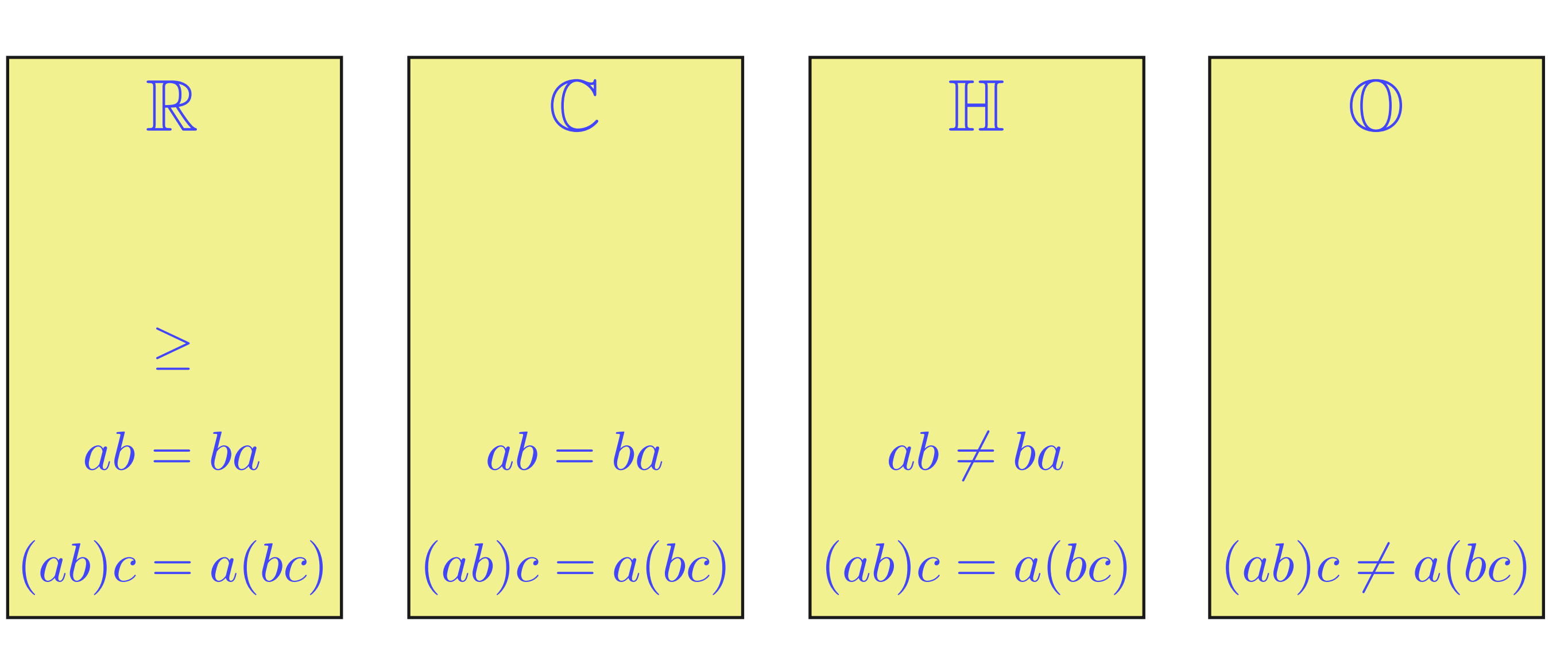
J.F. Adams

Una relación entre objetos excepcionales:

- fibraciones de esferas sobre esferas
- álgebras de Lie excepcionales

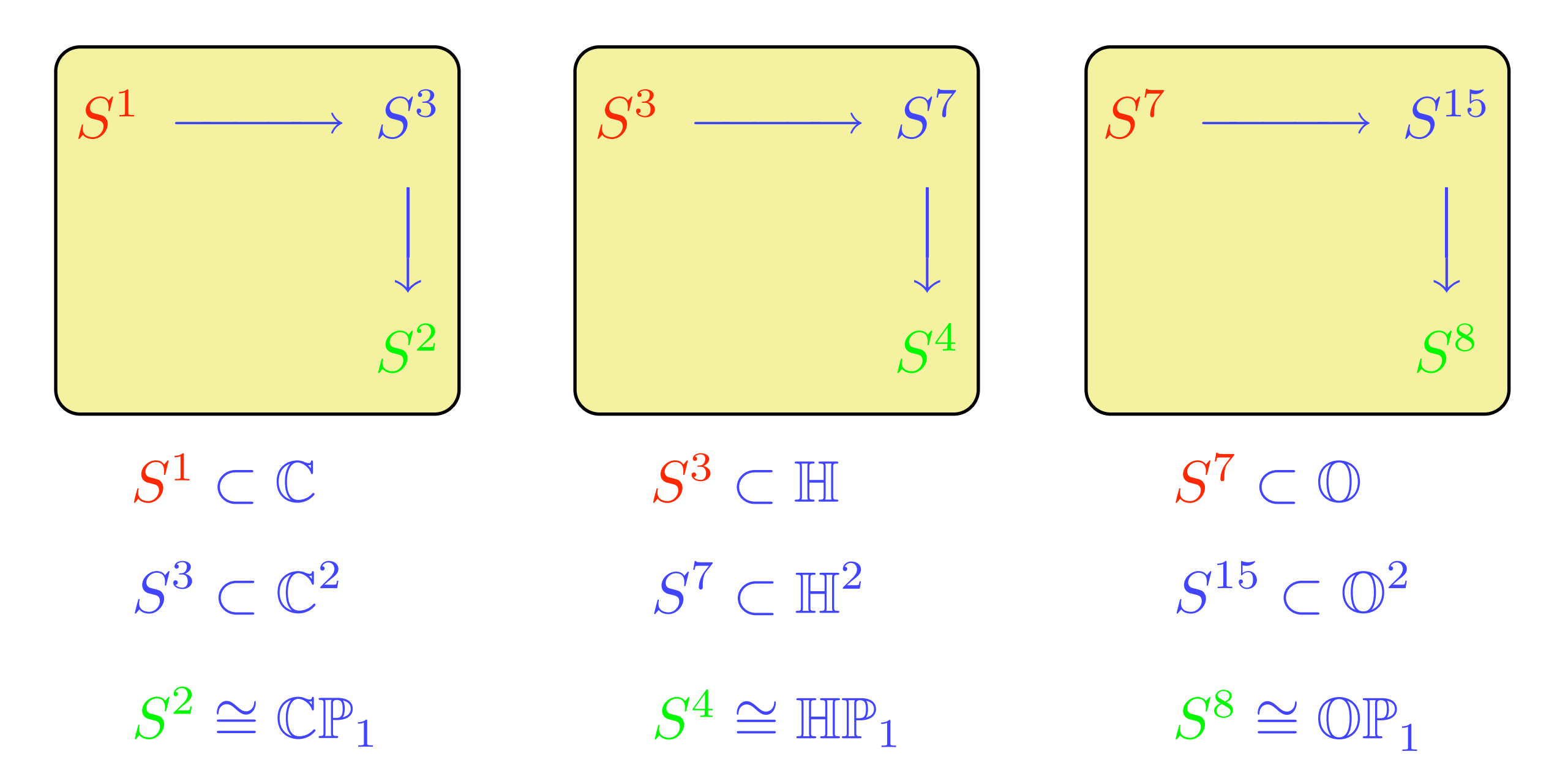
mediante una construcción **geométrica** con su origen en la **teoría de supergravedad**, que es un límite de la **teoría de cuerdas**.

Álgebras con división y norma



Estas son todas las álgebras normadas (euclídeas) con división. [Hurwitz]

Los fibrados de Hopf



Son los únicos ejemplos de fibrados donde los tres espacios son esferas. [Adams]

Álgebras de Lie

$$\mathfrak{g} \times \mathfrak{g} \to \mathfrak{g}$$
 $(X, Y) \mapsto [X, Y]$

antisimetría
$$[X, Y] = -[Y, X]$$

Jacobi
$$[X, [Y, Z]] = [[X, Y], Z] + [Y, [X, Z]]$$

Clasificadas en dimensión ≤ 7 , pero sin esperanza de clasificación general.

Sin embargo...

Las álgebras de Lie simples

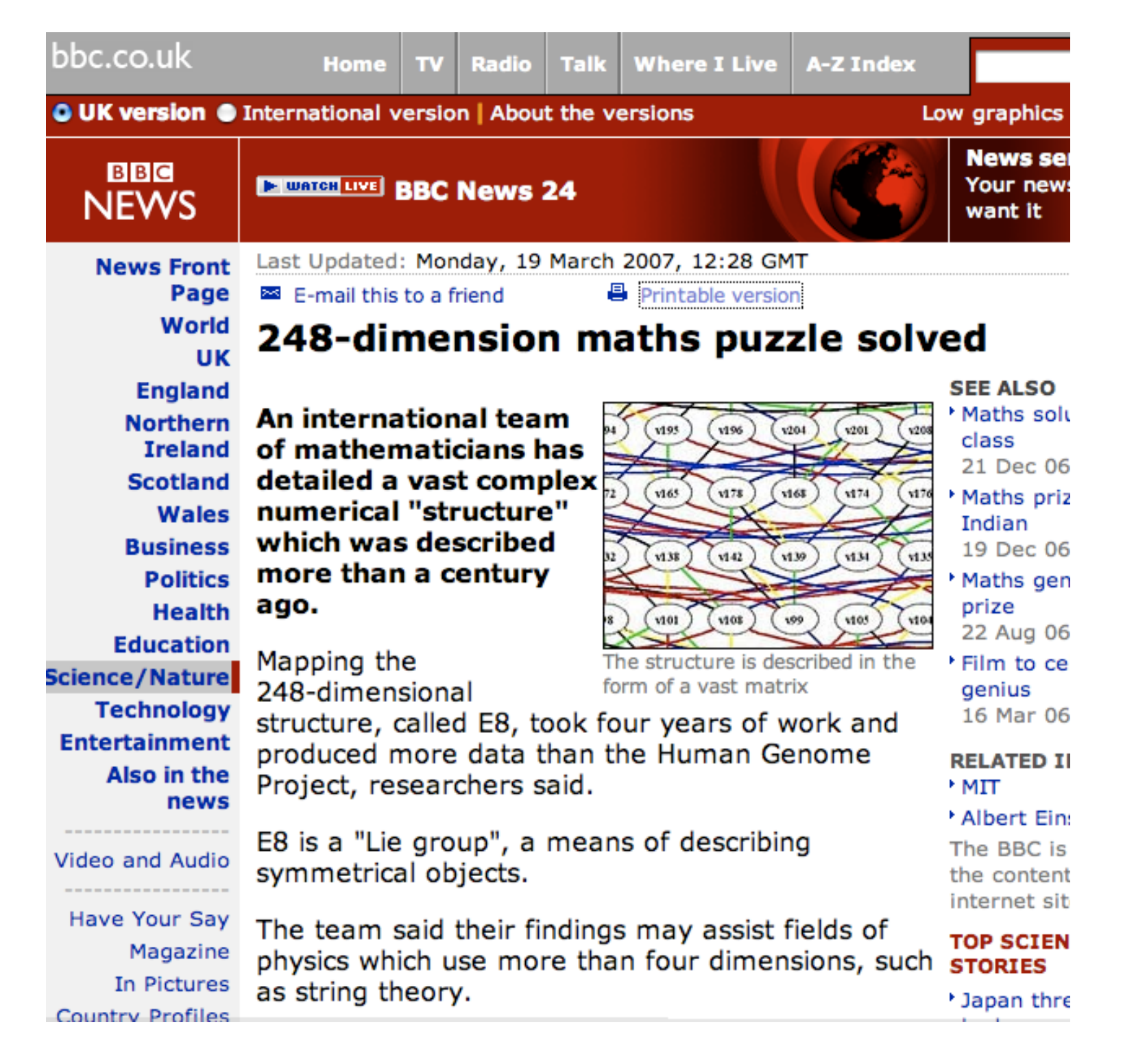
(sobre \mathbb{C})

4 series clásicas:

[Lie]

[Killing, Cartan]

¿Un ejemplo de hipérbole matemática?



http://news.bbc.co.uk/1/hi/sci/tech/6466129.stm

Existe una construcción geométrica, llamada la (super)álgebra de Killing, que tiene su origen en la teoría de supergravedad.

Aplicada al fibrado de Hopf excepcional produce un triple de álgebras de Lie excepcionales :



plane of numbers.

Rules of Multiplication in an Algebra of n units.

plane of numbers.

Rules of Multiplication in an Algebra of n units.

In general, if we consider an algebra of n units, $\iota_1, \iota_2, \ldots \iota_n$, such that $\iota_r^2 = -1$, $\iota_r \iota_s = -\iota_s \iota_r$, a product of m linear factors will consider an algebra of n units, n and n is even, and all of odd order if

plane of numbers.

Rules of Multiplication in an Algebra of n ur

In general, if we consider an algebra of n units, ι_1 , ι_2 , . Clifforthan the $\iota_r^2 = -1$, $\iota_r \iota_s = -\iota_s \iota_r$, a product of m linear factors will contain terms which are all of even order if m is even, and all of odd order if m is odd; for the second contains the second

Algebras de Clifford

$$V^n \qquad \langle -, - \rangle$$

espacio euclídeo real

$$C\ell(V) = rac{igotimes V}{\langle m{v} \otimes m{v} + |m{v}|^2 \mathbf{1}
angle}$$
 álgebra asociativa filtrada



$$C\ell(V) \cong \Lambda V$$

 $C\ell(V) \cong \Lambda V \quad \text{(como espacios vectoriales)}$

$$C\ell(V) = C\ell(V)_0 \oplus C\ell(V)_1$$

$$C\ell(V)_0 \cong \Lambda^{\mathrm{par}}V$$

$$C\ell(V)_1 \cong \Lambda^{\mathrm{impar}}V$$

marco ortonormal

$$e_1,\ldots,e_n$$

$$\boldsymbol{e}_i \boldsymbol{e}_j + \boldsymbol{e}_j \boldsymbol{e}_i = -2\delta_{ij} \mathbf{1}$$

$$C\ell\left(\mathbb{R}^n\right) =: C\ell_n$$

Ejemplos:

$$C\ell_0 = \langle \mathbf{1} \rangle \cong \mathbb{R}$$

$$C\ell_1 = \left\langle \mathbf{1}, \boldsymbol{e}_1 \middle| \boldsymbol{e}_1^2 = -\mathbf{1} \right\rangle \cong \mathbb{C}$$

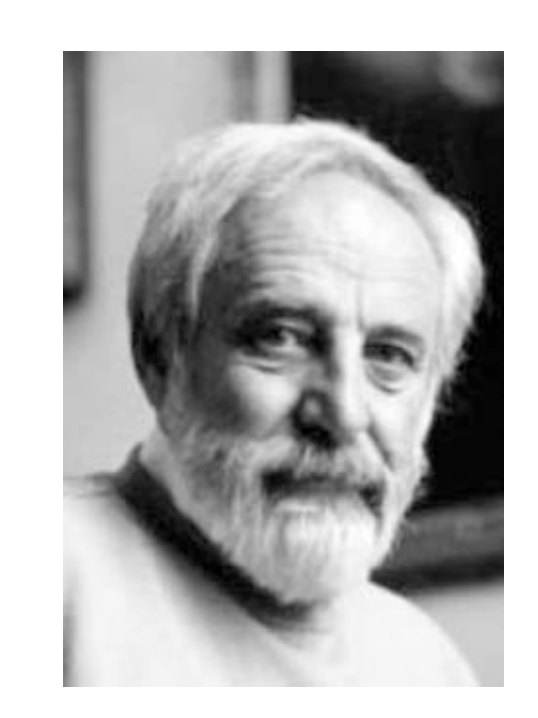
$$C\ell_2 = \langle \mathbf{1}, \mathbf{e}_1, \mathbf{e}_2 | \mathbf{e}_1^2 = \mathbf{e}_2^2 = -\mathbf{1}, \mathbf{e}_1 \mathbf{e}_2 = -\mathbf{e}_2 \mathbf{e}_1 \rangle \cong \mathbb{H}$$

Clasificación

n	$C\ell_n$
0	\mathbb{R}
1	\mathbb{C}
2	\mathbb{H}
3	$\mathbb{H} \oplus \mathbb{H}$
4	$\mathbb{H}(2)$
5	$\mathbb{C}(4)$
6	$\mathbb{R}(8)$
7	$\mathbb{R}(8) \oplus \mathbb{R}(8)$

periocidad de Bott:

$$C\ell_{n+8} \cong C\ell_n \otimes \mathbb{R}(16)$$



por ejemplo,

$$C\ell_9 \cong \mathbb{C}(16)$$
 $C\ell_{16} \cong \mathbb{R}(256)$

De aquí se desprenden el tipo y dimensión de las representaciones irreducibles.

 $C\ell_n$ tiene una **única** representación irreducible si n es par y **dos** si n es impar.

Están distinguidas por la acción del elemento

$$e_1e_2\cdots e_n$$

que es **central** para n impar.

Notación: \mathfrak{M}_n ó \mathfrak{M}_n^{\pm} módulos de Clifford

$$\dim \mathfrak{M}_n = 2^{\lfloor n/2 \rfloor}$$

Representaciones espinoriales

$$egin{aligned} oldsymbol{\mathfrak{so}}_n &
ightarrow C\ell_n \ oldsymbol{e}_i \wedge oldsymbol{e}_j &
ightarrow -rac{1}{2}oldsymbol{e}_ioldsymbol{e}_j \end{aligned}$$



$$\operatorname{Spin}_n \subset C\ell_r$$

$$s \in \mathrm{Spin}_n, \quad \boldsymbol{v} \in \mathbb{R}^n$$

$$oldsymbol{v} \in \mathbb{R}^n$$

$$\Longrightarrow$$

$$\implies svs^{-1} \in \mathbb{R}^n$$

lo que define $\operatorname{Spin}_n \to \operatorname{SO}_n$

cuyo ejemplo arquetípico es

$$\operatorname{Spin}_3 \cong \operatorname{SU}_2 \subset \mathbb{H}$$

$$\downarrow \mathbf{2-1}$$
 $\operatorname{SO}_3 \cong \operatorname{SO}(\operatorname{Im}\mathbb{H})$

Por restricción, toda representación de $C\ell_n$ define una representación de Spin_n :

$$C\ell_n\supset {
m Spin}_n$$
 $\mathfrak{M}=\Delta=\Delta_+\oplus \Delta_ \Delta_\pm$ espinores quirales $\mathfrak{M}^\pm=\Delta$ Δ espinores

El tipo de representación se desprende de

$$\operatorname{Spin}_{n} \subset (C\ell_{n})_{0} \cong C\ell_{n-1}$$

$$\dim \Delta = 2^{(n-1)/2} \qquad \dim \Delta_{+} = 2^{(n-2)/2}$$

Producto escalar espinorial

(-,-) forma bilineal en \triangle

$$(arepsilon_1, arepsilon_2) = \overline{(arepsilon_2, arepsilon_1)}$$
 $(arepsilon_1, oldsymbol{e}_i \cdot arepsilon_2) = -(oldsymbol{e}_i \cdot arepsilon_1, arepsilon_2) = -(oldsymbol{e}_i oldsymbol{e}_j \cdot arepsilon_1, arepsilon_2)$
 $\Longrightarrow (arepsilon_1, oldsymbol{e}_i oldsymbol{e}_j \cdot arepsilon_2) = -(oldsymbol{e}_i oldsymbol{e}_j \cdot arepsilon_1, arepsilon_2)$

que nos permite definir $[-,-]:\Lambda^2\Delta\to\mathbb{R}^n$

$$\langle [\varepsilon_1, \varepsilon_2], \boldsymbol{e}_i \rangle = (\varepsilon_1, \boldsymbol{e}_i \cdot \varepsilon_2)$$



Variedades espinoriales

Mⁿ variedad diferenciable, orientable, espinorial
 g métrica riemanniana

$$GL(M) \longleftarrow O(M) \stackrel{w_1 = 0}{\longleftarrow} SO(M) \stackrel{w_2 = 0}{\longleftarrow} Spin(M)$$

$$\downarrow \qquad \qquad \downarrow \qquad \qquad \downarrow \qquad \qquad \downarrow$$

$$M \qquad M \qquad M$$

$$\operatorname{GL}_n \iff \operatorname{O}_n \iff \operatorname{SO}_n \iff \operatorname{Spin}_n$$

Posibles $\operatorname{Spin}(M)$ están clasificadas por $H^1(M; \mathbb{Z}/2)$.

Por ejemplo, $M = S^n \subset \mathbb{R}^{n+1}$

$$O(M) = O_{n+1}$$

$$SO(M) = SO_{n+1}$$

$$Spin(M) = Spin_{n+1}$$

$$S^n \cong \mathcal{O}_{n+1}/\mathcal{O}_n \cong \mathcal{SO}_{n+1}/\mathcal{SO}_n \cong \mathcal{Spin}_{n+1}/\mathcal{Spin}_n$$

Fibrados espinoriales

$$C\ell(TM)$$
 fibrado de Clifford $C\ell(TM) \cong \Lambda TM$

$$S(M) := \mathrm{Spin}(M) imes_{\mathrm{Spin}_n} \Delta$$
 fibrado de espinores

$$S(M)_{\pm} := \mathrm{Spin}(M) imes_{\mathrm{Spin}_n} \Delta_{\pm}$$
 (quirales)

 $C\ell(TM)$ actúa sobre S(M)

La conexión de Levi-Cività nos permite derivar espinores :

$$\nabla: S(M) \to T^*M \otimes S(M)$$

que a su vez nos permite definir:

espinor paralelo

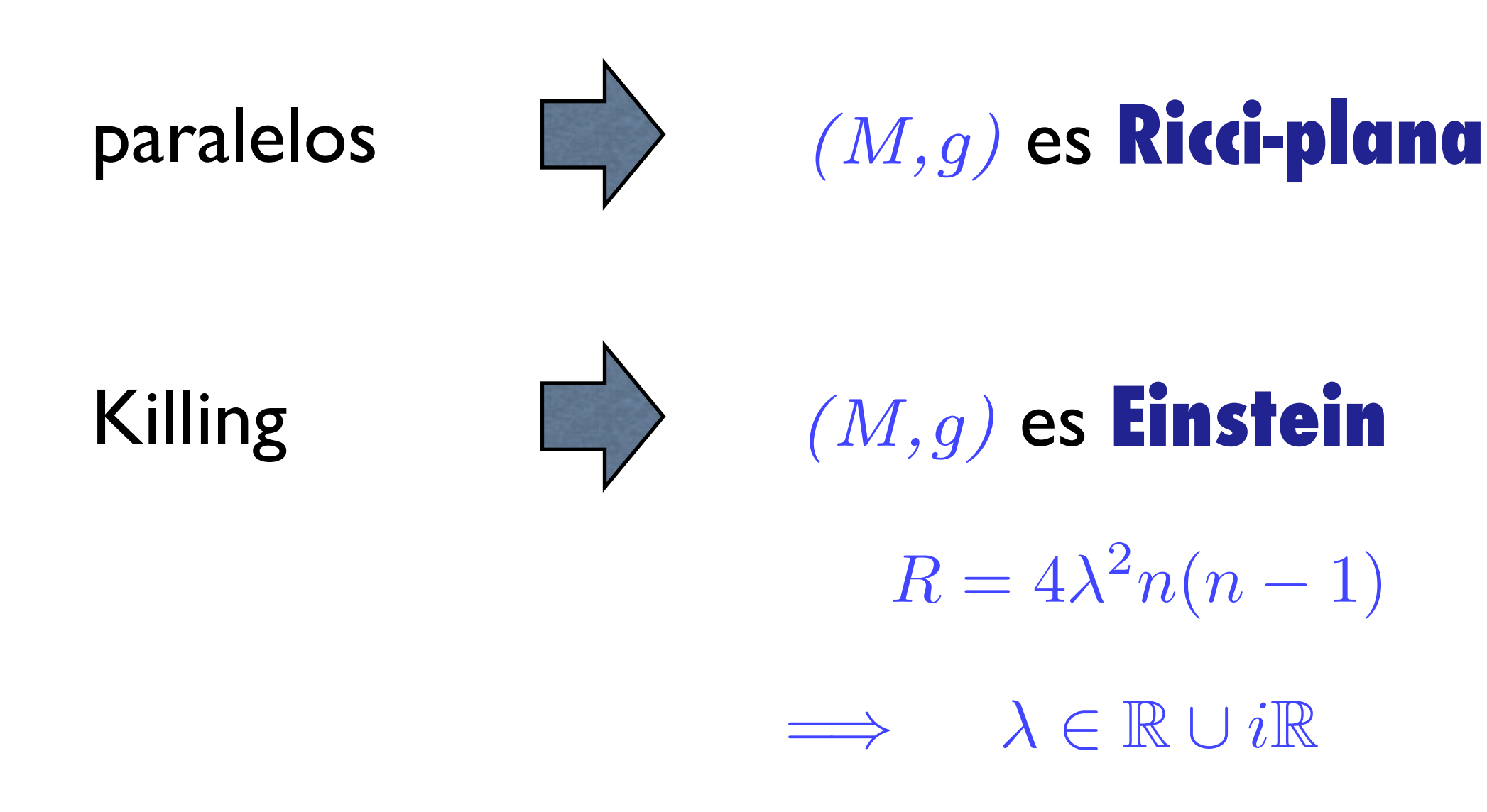
$$\nabla \varepsilon = 0$$

espinor de Killing

$$\nabla_X \varepsilon = \lambda X \cdot \varepsilon$$

constante de Killing

Si (M,g) admite espinores ...

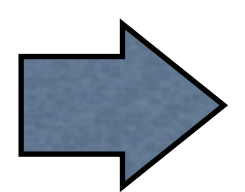


Hoy consideramos sólo \(\lambda\) real.

Los espinores de Killing tienen su origen en la teoría de supergravedad.

El nombre proviene de que son «raíces cuadradas» de vectores de Killing.

$$V \in \Gamma(TM)$$
 es Killing si $\mathcal{L}_V g = 0$



 $arepsilon_1,arepsilon_2$ Killing $[arepsilon_1,arepsilon_2]$ Killing

¿Qué variedades admiten espinores de Killing?



Ch. Bär

(M,g)

 $(\overline{M},\overline{g})$ cono métrico

$$\overline{M} = \mathbb{R}^+ \times M$$

$$\overline{M} = \mathbb{R}^+ \times M$$
 $\overline{g} = dr^2 + r^2 g$

espinores de Killing en (M,g)

$$\left(\lambda = \pm \frac{1}{2}\right)$$



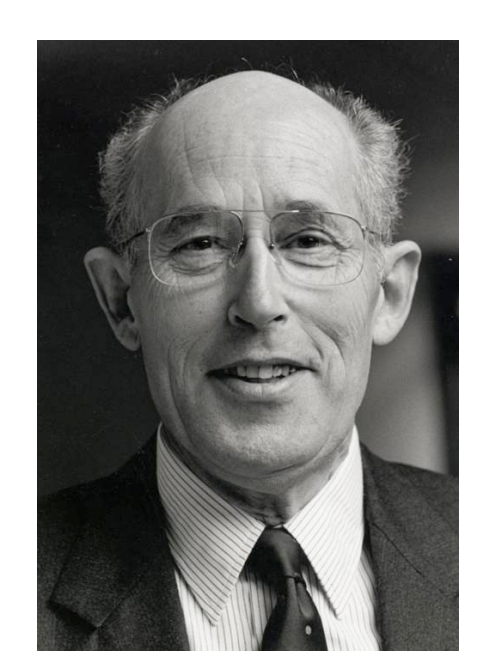
espinores paralelos en el cono

En más detalle...

Si n es **impar**, los espinores de Killing están en correspondencia biyectiva con los espinores paralelos **quirales** del cono : la quiralidad es el **signo** de λ .

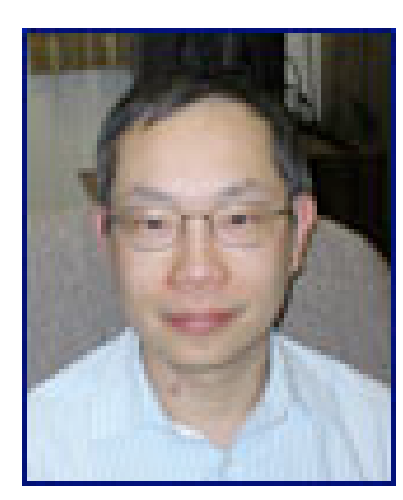
Si n es **par**, los espinores de Killing con **ambos** signos de λ están en correspondencia biyectiva con los espinores paralelos del cono, y el signo de λ entra en la relación entre los fibrados de Clifford.

Esto reduce el problema a uno (ya resuelto) sobre el grupo de holonomía del cono.



M. Berger

n	Holonomía
n	SO_n
2m	U_m
2m	SU_m
4m	$\operatorname{Sp}_m \cdot \operatorname{Sp}_1$
4m	Sp_m
7	G_2
8	Spin_7



M. Wang

O bien el cono es plano y M es una esfera.



Construcción del álgebra

(M,g) variedad riemanniana espinorial

$$\mathfrak{k}=\mathfrak{k}_0\oplus\mathfrak{k}_1$$

$$\mathfrak{k}_0 = \left\{ \text{vectores de Killing} \right\}$$

$$\mathfrak{t}_1 = \{ \text{espinores de Killing} \}$$

$$(\cos \lambda = \frac{1}{2})$$

$$[-,-]:\Lambda^2\mathfrak{k} \to \mathfrak{k}$$
?

$$[-,-]:\Lambda^2\mathfrak{k}_0\to\mathfrak{k}_0$$

$$[-,-]:\Lambda^2\mathfrak{k}_0\to\mathfrak{k}_0$$
 \checkmark $[-,-]$ de campos vectoriales

$$[-,-]:\Lambda^2\mathfrak{k}_1\to\mathfrak{k}_0$$

$$[-,-]:\Lambda^2\mathfrak{k}_1\to\mathfrak{k}_0$$
 \checkmark $g([\varepsilon_1,\varepsilon_2],X)=(\varepsilon_1,X\cdot\varepsilon_2)$

$$[-,-]:\mathfrak{k}_0\otimes\mathfrak{k}_1 o\mathfrak{k}_1$$

¡derivada de Lie espinorial!



Kosmann



Lichnerowicz

$$X \in \Gamma(TM)$$
 Killing $\mathcal{L}_X g = 0$



$$\mathcal{L}_X g = 0$$

$$\varrho:\mathfrak{so}(TM)\to\mathrm{End}S(M)$$

 $\varrho: \mathfrak{so}(TM) \to \operatorname{End}S(M)$ representación espinorial

$$\mathcal{L}_X := \nabla_X + \varrho(A_X)$$

$\mathcal{L}_X := abla_X + arrho(A_X)$ derivada de Lie espinorial

cf.
$$\mathfrak{L}_X Y = \nabla_X Y + A_X Y = \nabla_X Y - \nabla_Y X = [X, Y]$$

Propiedades

$$\forall X, Y \in \mathfrak{k}_0, \quad Z \in \Gamma(TM), \quad \varepsilon \in \Gamma(S(M))$$

$$\mathfrak{L}_X(Z \cdot \varepsilon) = [X, Z] \cdot \varepsilon + Z \cdot \mathfrak{L}_X \varepsilon$$

$$\mathfrak{L}_X(f\varepsilon) = X(f)\varepsilon + f\mathfrak{L}_X\varepsilon$$

$$[\mathfrak{L}_X,\mathfrak{L}_Y]arepsilon=\mathfrak{L}_{[X,Y]}arepsilon$$

$$[\mathfrak{L}_X, \nabla_Z] \varepsilon = \nabla_{[X,Z]} \varepsilon$$



$$\forall \varepsilon \in \mathfrak{k}_1, X \in \mathfrak{k}_0$$

$$\mathcal{L}_X \varepsilon \in \mathfrak{k}_1$$

$$[-,-]:\mathfrak{k}_0\otimes\mathfrak{k}_1\to\mathfrak{k}_1$$

$$[X,\varepsilon] := \mathcal{L}_X \varepsilon$$

La identidad de Jacobi

Jacobi: $\Lambda^3 \mathfrak{k} \to \mathfrak{k}$

$$(X, Y, Z) \mapsto [X, [Y, Z]] - [[X, Y], Z] - [Y, [X, Z]]$$

4 componentes:

$$\Lambda^3 \mathfrak{k}_0 \to \mathfrak{k}_0$$

✓ Jacobi para campos vectoriales

$$\Lambda^2 \mathfrak{k}_0 \otimes \mathfrak{k}_1 \longrightarrow \mathfrak{k}_1$$

$$\Lambda^2 \mathfrak{k}_0 \otimes \mathfrak{k}_1 \to \mathfrak{k}_1 \qquad \checkmark \qquad [\mathfrak{L}_X, \mathfrak{L}_Y] \varepsilon = \mathfrak{L}_{[X,Y]} \varepsilon$$

$$\mathfrak{k}_0 \otimes \Lambda^2 \mathfrak{k}_1 \to \mathfrak{k}_0$$

$$\checkmark \quad \mathfrak{L}_X(Z \cdot \varepsilon) = [X, Z] \cdot \varepsilon + Z \cdot \mathfrak{L}_X \varepsilon$$

$$\Lambda^3 \mathfrak{k}_1 \longrightarrow \mathfrak{k}_1$$

$$\in (\mathfrak{k}_1 \otimes \Lambda^3 \mathfrak{k}_1^*)^{\mathfrak{k}_0}$$

Algunos ejemplos

$$S^7 \subset \mathbb{R}^8$$

$$\mathfrak{k}_0 = \mathfrak{so}_8$$

$$\mathfrak{k}_0=\mathfrak{so}_8$$
 $\mathfrak{k}_1=\Delta_+$ 28 + 8 = 36

$$28 + 8 = 36$$

$$S^8 \subset \mathbb{R}^9$$

$$\mathfrak{k}_0 = \mathfrak{so}_9$$

$$\mathfrak{k}_1 = \Delta$$

$$\mathfrak{k}_0 = \mathfrak{so}_9$$
 $\mathfrak{k}_1 = \Delta$ $36+16=52$

$$\mathfrak{f}_4$$

$$S^{15} \subset \mathbb{R}^{16}$$

$$\mathfrak{k}_0=\mathfrak{so}_{16}$$

$$\mathfrak{k}_1 = \Delta_+$$

$$S^{15}\subset\mathbb{R}^{16}$$
 $\mathfrak{k}_0=\mathfrak{so}_{16}$ $\mathfrak{k}_1=\Delta_+$ 120+128 = 248

En todos los casos, la identidad de Jacobi resulta de

$$\left(\mathfrak{k}_1\otimes\Lambda^3\mathfrak{k}_1^*\right)^{\mathfrak{k}_0}=\mathbf{0}$$

Un esbozo de demostración

Dos observaciones :

1) La biyección entre espinores de Killing y espinores paralelos en el cono es equivariante bajo la acción de isometrías.



Se usa el cono para calcular $\mathcal{L}_X \varepsilon$

2) En el cono $\mathcal{L}_X \varepsilon = \varrho(A_X) \varepsilon$ y como X es ineal, el endomorfismo A_X es constante.



Su acción es la natural sobre espinores.

Epílogo

- En supergravedad la geometría es lorentziana y hay más estructura. La noción de espinor de Killing es mucho más complicada.
- Se obtienen **superálgebras de Lie**, que juegan un papel importante en la correspondencia «**AdS/CFT**» entre gravedad y teorías «gauge».
- ¿Qué estructura en la 15-esfera tiene a E8 como automorfismos?

